

碎波帯における浮遊砂の濃度分布 -Nielsenの観測結果(1984)と混合距離論に基づく数値解析-

愛媛大学大学院 学生員。後藤博光
愛媛大学工学部 正員 伊福誠
愛媛大学工学部 正員 藤沼忠男

1. まえがき

著者らは、1983年から海津寺海岸の碎波帯において冬期季節風時に波、流れと浮遊砂濃度の観測を実施してきたが、浮遊砂濃度は一点のみの観測であるため鉛直方向にいかなる濃度分布をするか明らかでない。Nielsen(1984)は現地海岸の碎波帯において波、流れと底面近傍の7点での浮遊砂濃度の観測を実施し、底面近傍における浮遊砂濃度の鉛直分布を得ている。

本研究ではNielsenの観測資料を用いて境界層内の流速を算出し、この流速を用いてKalkanis(1965)の手法に従い底面の濃度をえて乱流拡散方程式を解くことにより移動場における浮遊砂濃度を解析してNielsenの現地観測結果を説明し、著者らの解析手法の妥当性を検証しようとするものである。

2. 基礎方程式と初期条件および境界条件

基礎方程式

境界層内の流速：流体が非圧縮性でその運動が非定常な場合の鉛直一次元境界層方程式は一般に次式のようにあらわせる。

$$\frac{\partial(u-u_b)}{\partial t} = \frac{1}{\rho_f} \frac{\partial u}{\partial z} \quad (1)$$

ここに、 t は時間、 u は流速、 u_b は境界層外縁の流速、 ρ_f は流体の密度、 τ_w は摩擦応力である。

濃度：沉降速度 w_0 を持つ物質の鉛直一次元拡散方程式は次式のようにあらわせる。

$$\frac{\partial c}{\partial t} + w \frac{\partial c}{\partial z} = \frac{\partial}{\partial z} \left(K_z \frac{\partial c}{\partial z} \right) + w_0 \frac{\partial c}{\partial z} \quad (2)$$

ここに、 c は濃度、 w は鉛直方向の水粒子速度、 K_z は鉛直拡散係数である。

初期条件および境界条件：式(1)および式(2)の初期条件および境界条件はそれぞれ

$$\left. \begin{aligned} u(z, 0) &= 0 \\ u(z_0, t) &= 0 \\ u(z_b, t) &= u_b(t) \end{aligned} \right\} \quad (3)$$

$$C(z, 0) = 0$$

$$C(z_b, t) = C_0(t)$$

$$K_z \frac{\partial c}{\partial z} + w_0 c = 0, z = R \quad | \quad (4)$$

ここに、 z は粗度長、 u_b は境界層外縁の流速、 z_b は境界層厚、 $C_0(t)$ は掃流層内の濃度、 R は水深である。

3. 数値解析

式(1)および式(2)は差分法(クランク-ニコラス法)を用いて解析する。底面から粒径の3倍の高さまでを粒径の1/2の等間隔、それより海面までを等比級数的に分割する。等分割点数は101である。時間間隔は $T/96$ (T: 波の周期)とする。

摩擦応力は、Prandtlの混合距離論に基づくと

$$\tau_w = \rho_f (K_z)^2 |2u|/2z |2u|/2z \quad (5)$$

とあらわせる。

境界層厚は野田(1969)にからり、 $S_B = 25f' (f' = \sqrt{T/2\pi}, f': 流体の動粘性係数)$ を与える。

粗度長はBakker-van Doorn(1978)にからり、 $z_0 = \eta/3 (\eta: 砂丘の高さ)$ とし、砂丘の高さ η はNielsen(1981)の経験式 $\eta/a_m = 2/\theta^{-0.85}$ (a_m : 海底における水粒子軌道の半分長、 $\theta = \rho_f u_{bm}^2 / (\rho_s - \rho_f) g d_{50}$, ρ_f : 物質の密度、 g : 重力の加速度、 d_{50} : 物質の中央粒径)を用いて算出する。

底面の濃度はKalkanis(1965)の理論を用いると

$$C_0 = 2\rho_f d V / 3 S_B \bar{U}_s \quad (6)$$

ここに、 ρ_f は物質の乾燥密度、 d は粒径、 V は物質の移動速度、 \bar{U}_s は掃流層内の断面平均流速、 P は物質の動き初めの確率で次式のようにあらわせる。

$$P = \frac{1}{\sqrt{2\pi}} \int_{B_* \psi - 1/\eta_0}^{\infty} \exp(-z^2/2) dz \quad (7)$$

ここに、 $B_* = 4/3 C_L \eta_0$ (C_L : 揚力係数、 η_0 : 経験定数)、 $\psi = (\rho_s - \rho_f) g d / \rho_f U_0^2$ (U_0 : 物質に作用する流速)である。

乱れ拡散係数は次のように仮定する。

$$K_z = \gamma \{ l_L W^2(z, t) / q + l_T U^2(z, t) / q \} \quad (8)$$

ここに、 $q = [U^2(z, t) + W^2(z, t)]^{1/2}$, l_L , l_T は特性長であり、 $l_L = \alpha l_T$ (α :比例定数) である。

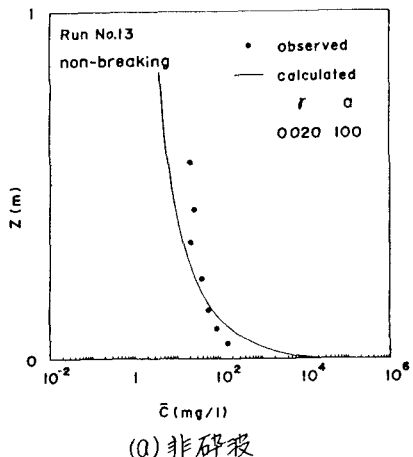
4. 解析結果

Nielsenが観測で得た有義波高0.33~0.78m、有義波周期7.1~14.4s、平均水深0.94~1.8m、底質の中央粒径0.12~0.22mmを用いてパラメータ解析を行った。床おき観測で得た有義波はクノイド波理論が適用される領域にある。境界層外縁および境界層外の流速はChoppelearによろクノイド波のオーバル似解を用いて算出した。

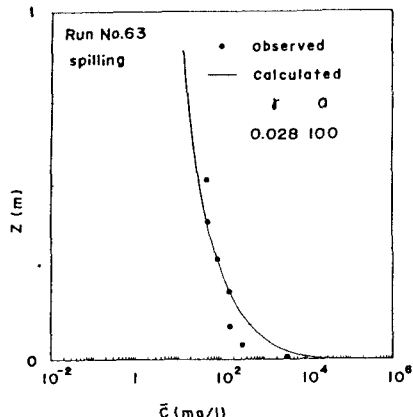
図1は一周期平均の濃度分布を示したものであり、図中の黒丸はNielsenの観測結果、実線は計算結果である。(a)非碎波、(b)および(c)はそれぞれspilling型およびplunging型のものである。非碎波のものは計算値と観測値が底面付近と底面から50cm程度の高さ付近で若干

干差がある。spilling型のものは計算値は底面付近で観測値より大きい。plunging型のものは計算値は非碎波、spilling型に比べて底面付近でも観測値とよく合ひ、観測結果をうまく説明しているようである。

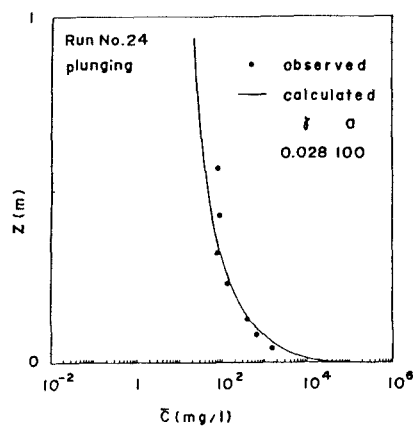
図2は有義波高と中央粒径の比 $H_{1/3}/d_{50}$ との関係を示したもので、図中には梅津寺海岸の解析結果をも示してある。Nielsenの非碎波、spilling型およびplunging型のものは $H_{1/3}/d_{50}$ が大きくなるにつれて γ の値は小さくなり両者には負の相関がある。また、同一の $H_{1/3}/d_{50}$ では碎波型式がplunging型、spilling型、非碎波にするとにつれて γ の値は小さい。碎波型式がspilling型である著者らのものはNielsenのspilling型のものと似た傾向を示すようである。



(a) 非碎波

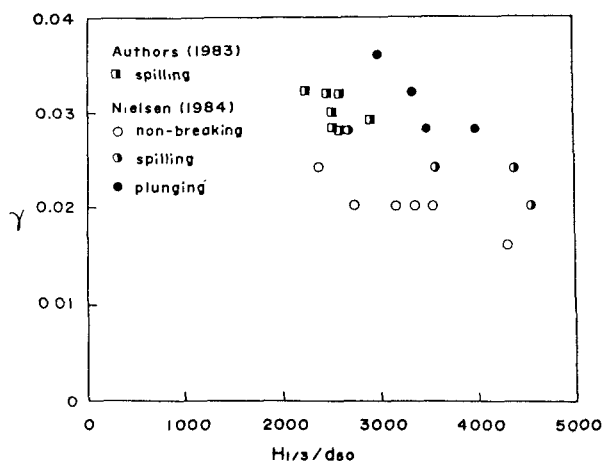


(b) spilling型



(c) plunging型

図1 平均浮遊砂濃度の鉛直分布

図2 $H_{1/3}/d_{50}$ との関係